

القای تشکیل سلول‌های شبه عصبی از سلول‌های بنیادی مشتق از بافت چربی در هیدروژل آژینات با استفاده از روش تشکیل نوروسفر

دکتر شهناز رضوی^۱، زهرا خسروی‌زاده^۲، دکتر حمید بهرامیان^۳، محمد کاظمی^۴

مقاله پژوهشی

چکیده

مقدمه: هیدروژل‌ها محیط سه بعدی مناسبی را برای کشت انواع مختلف سلول‌ها فراهم می‌کنند و انکپسوله کردن سلول در هیدروژل‌ها روش مناسب جهت استفاده در مهندسی بافت است. آژینات، هیدروژل زیست سازگاری است که سیستم مناسبی برای انکپسوله کردن سلول‌ها فراهم می‌کند. به علاوه، سلول‌های بنیادی جدا شده از بافت چربی، سلول‌های بنیادی مزانشیمی هستند که ممکن است منبع مناسبی از سلول‌ها جهت استفاده در سلول درمانی به صورت اتو لوگ باشند.

روش‌ها: در این مطالعه سرنوشت سلول‌های بنیادی جدا شده از بافت چربی انکپسوله در هیدروژل آژینات را که به مدت یک هفته در محیط کشت القای عصبی کشت شدند، بررسی شد. با استفاده از روش MTT [4,5-dimethylthiazol-2-yl)-2,5-diphenyltetrazolium bromide] ۳-۴ و تکنیک اینمونویوتیو شیمی به ترتیب میزان تکثیر و تمایز عصبی این سلول‌ها بررسی شد.

یافته‌ها: افزایش معنی‌داری در میانگین درصد سلول‌های GFAP (Glial fibrillary acidic protein) و MAP2 (Nestin) مثبت و کاهش معنی‌داری در میزان تکثیر و بقای سلول‌های انکپسوله در مقایسه با سلول‌های کشت تک لایه مشاهده شد.

نتیجه‌گیری: هیدروژل آژینات می‌تواند محیط مناسبی برای تمایز عصبی سلول‌های بنیادی جدا شده از بافت چربی فراهم کند.

وازگان کلیدی: هیدروژل آژینات، سلول‌های بنیادی جدا شده از بافت چربی، تمایز عصبی، تکثیر

ارجاع: رضوی شهناز، خسروی‌زاده زهرا، بهرامیان حمید، کاظمی محمد. القای تشکیل سلول‌های شبه عصبی از سلول‌های بنیادی مشتق از بافت چربی در هیدروژل آژینات با استفاده از روش تشکیل نوروسفر. مجله دانشکده پزشکی اصفهان ۱۳۹۳؛ ۳۲ (۲۸۸): ۸۴۰-۸۲۸.

مقدمه

در موقعیت‌های فیزیولوژیک سلول‌ها در یک محیط سه بعدی رشد می‌کنند (۱)، در حالی که متابولیسم، بیان ژن، پروتئین‌های ماتریکس خارج سلولی و مورفولوژی سلول‌های کشت شده در محیط دو بعدی

با آن چه در شرایط فیزیولوژیک اتفاق می‌افتد، متفاوت است (۲). در مهندسی بافت، سلول‌ها به طور معمول بر روی داربستی شبیه به ماتریکس خارج سلولی بافت‌های نرم کشت داده می‌شوند (۳). داربست به عنوان یک ماتریکس خارج سلولی

- ۱- استاد، گروه علوم تشریح و بیولوژی مولکولی، دانشگاه علوم پزشکی اصفهان، اصفهان، ایران
- ۲- دانشجوی دکتری، گروه علوم تشریح و بیولوژی مولکولی، دانشگاه علوم پزشکی تهران، تهران، ایران
- ۳- دانسیار، گروه علوم تشریح و بیولوژی مولکولی، دانشگاه علوم پزشکی اصفهان، اصفهان، ایران
- ۴- دانشجوی دکتری، گروه ژنتیک، دانشکده پزشکی، دانشگاه علوم پزشکی اصفهان، اصفهان، ایران

نویسنده‌ی مسؤول: دکتر شهناز رضوی

Email: razavi@med.mui.ac.ir

برای رهایش دارو، انکپسوله کردن سلول و تولید مجدد بافت استفاده می‌شود (۱۸-۲۳).

انواعی از سلول‌ها شامل استئوبلاست‌ها، کندروسیت‌ها، سلول‌های جزایر پانکراس، سلول‌های مزانشیمی و سلول‌های بنیادی عصبی در هیدروژل آژینات به صورت *In vivo* و *In vitro* کشت داده شده‌اند (۲۴-۲۶). سلول‌های انکپسوله شده در هیدروژل آژینات ممکن است به خوبی توسط سیستم عصبی مرکزی تحمل شوند؛ زیرا سیستم عصبی مرکزی مکانی با مصنوبیت ایمنی است (۲۷).

در سال‌های اخیر سلول‌های بنیادی و پیش‌ساز از بافت‌های فرد بالغ مانند مغز استخوان، پوست، عضله و چربی جدا شده‌اند (۲۸). از میان این بافت‌ها، مغز استخوان بیشتر مورد بررسی قرار گرفته است، در حالی که بافت چربی ممکن است مزایای بیشتری در مقایسه با مغز استخوان داشته باشد (۲۹). سلول‌های بنیادی جدا شده از بافت چربی (ADSCs) یا Adipose derived stem cells (توانایی خود نوسازی و تمایز به دودمان‌های مختلف بافت مزانشیمی را دارند (۳۰-۳۱)). این سلول‌ها می‌توانند در تعداد بیشتر استخراج شوند و توانایی رشد و تکثیر بالایی دارند (۳۲)، به علاوه کارایی سلول‌های بنیادی جدا شده از بافت چربی با افزایش سن، جنس، چاقی و بعضی بیماری‌ها مانند نارسایی کلیوی و بیماری عروقی تغییر نمی‌کند (۳۳).

آزمایش‌ها نشان داده‌اند که سلول‌های بنیادی جدا شده از بافت چربی، عوامل نوروتروفیک (Brain derived neurotrophic factor) NGF، (Nerve growth factor) GDNF،

ستنتیک جهت ایجاد سیگنال‌های هدایت کننده سلول‌ها و تکامل بافت جدید استفاده می‌شود. از آن جا که داربست‌ها شبکه‌های سه بعدی بسیار هیدراته هستند، ساختاری شبیه به ماتریکس خارج سلولی ایجاد می‌کنند. هیدروژل‌ها شبکه‌های سه بعدی از پلیمرهای هیدروفیلیک با اتصالات عرضی هستند که در محیط آبی بسیار متورم می‌شوند (۴).

فضا و پایداری مکانیکی ایجاد شده به وسیله‌ی این اتصالات عرضی، می‌تواند جهت پر کردن نقص‌های نامنظم ایجاد شده در حین آسیب و تشکیل بافت جدید مفید باشد (۵-۷).

داربست سه بعدی هیدروژل آژینات به علت تهیه‌ی آسان و توانایی آن برای انکپسوله کردن سلول‌ها مورد توجه قرار گرفته است (۸-۱۲). آژینات یک پلی ساکارید خطی مشتق از جلبک قهوه‌ای و محلول در آب است که از مونومرهای L-guluronic acid (M) و D-mannuronic acid (G) تشکیل شده است. به علت توانایی ژل شدن و ویسکوزیته‌ی بالای آن در محلول‌های آبی، آژینات به طور گستره‌ای در صنایع غذایی، آرایشی و دارویی استفاده می‌شود (۱۳-۱۴).

هیدروژل آژینات در تداخل عمل یون‌های دو ظرفیتی از قبیل کلسیم با توالی‌های G محلول آژینات سدیم ساخته می‌شود (۱۵-۱۶). آژینات ویژگی‌های مفیدی از قبیل زیست سازگاری و عدم تحریک سیستم ایمنی دارد که احتمال می‌رود مربوط به خاصیت هیدروفیلیک آن باشد (۱۷). همچنین این هیدروژل فراوان، ارزان و غیر سمی است (۱۱). چون سلول‌ها در طی فرایند ژل شدن و تشکیل اتصالات عرضی یونی آسیب نمی‌بینند، این ماده به طور وسیعی

از تمایز عصبی بررسی و با گروه شاهد مقایسه شود. نظر به این که در سیستم عصبی ماتریکس خارج سلولی بسیار کمی وجود دارد، آژینات می‌تواند به عنوان ماتریکس خارج سلولی عمل کند و در صورتی که سلول‌های بنیادی مشتق از بافت چربی در آژینات تمایز عصبی مطلوبی داشته باشند، می‌توان از این داریست جهت پیوند در بیماری‌های نوروژنراتیو استفاده نمود.

روش‌ها

روش جداسازی سلول‌های بنیادی از بافت چربی

نمونه‌های چربی انسانی استفاده شده در این تحقیق از بافت چربی سه خانم، پس از تکمیل فرم رضایت و عمل سزارین تهیه شد. بافت چربی بلافاصله پس از عمل جراحی در ظرف حاوی PBS (Phosphate buffered saline) به آزمایشگاه بافت‌شناسی منتقل شد. بافت چربی به همراه ظرف آن وزن شد. زیر هود، نمونه چند بار با PBS شسته شد تا دبری و خون از بافت چربی جدا شود. به وسیله‌ی تیغ اسکالپل و پنس استریل پوست، بافت فیبروز و عروق خونی جدا شد و پس از قطعه قطعه کردن، بافت چربی به فالکون ۵۰ ml منتقل شد.

سلول‌های جدا شده از بافت چربی به ظرف منتقل و دوباره وزن شد و با کم کردن آن از وزن اولیه، وزن چربی استفاده شده تعیین شد. به ازای هر گرم چربی، ۰/۵ ml آنزیم کلاژنаз A ۰/۰۱ درصد به فالکون اضافه شد. پس از مخلوط کردن آنزیم با چربی، فالکون به مدت ۳۰ دقیقه در انکوباتور قرار داده شد. FBS برابر با حجم آنزیم، محیط کشت حاوی Fetal bovine serum (FBS) ۱۰ درصد به فالکون حاوی چربی جهت خشی کردن آنزیم اضافه و سپس به

(Glial derived neurotrophic factor) و عوامل رشد عصبی بهبود دهنده‌ی بازسازی میلین را در اعصاب آسیب دیده تولید می‌کنند و نسبت به آپوپتوز مقاوم‌تر هستند (۳۴-۳۷). مولکول‌های ماتریکس خارج سلولی از قبیل لامینین در تولید دوباره‌ی عصب نقش دارند و مطالعات جدید نشان داده‌اند که این سلول‌ها لامینین را بیان می‌کنند که می‌تواند در موش‌های دارای نقص لامینین حاصل از سلول شوان، موجب تسريع آرایش آکسون، میلینه شدن و بهبود عملکرد شود (۳۸). مولکول‌های آنزیوژنیک مانند عامل رشد اندوتیال عروق (VEGF) یا Vascular endothelial growth factor که باعث افزایش رشد زواید نوریت می‌شوند، به میزان بالا توسعه سلول‌های بنیادی جدا شده از بافت چربی بیان می‌شود (۳۹-۴۰).

آزمایش‌های اخیر نشان داده‌اند که سلول‌های بنیادی جدا شده از بافت چربی می‌توانند ویژگی‌های خاص سلول‌های عصبی و گلیال را بیان کنند (۴۱-۴۲). با توجه به مزایای ذکر شده، می‌توان به تعداد کافی سلول بنیادی از بافت چربی استخراج و در موارد کلینیکی استفاده نمود.

با توجه به مزایای سلول‌های بنیادی مشتق از بافت چربی و ویژگی‌های منحصر به فرد کپسول هیدروژل آژینات در تکثیر و تمایز سلول‌های بنیادی و از آن جا که تاکنون تمایز عصبی سلول‌های بنیادی مشتق از بافت چربی در هیدروژل آژینات در زمان‌های مختلف بررسی نشده است، تصمیم گرفته شد این سلول‌ها در هیدروژل آژینات کشت شوند و بیان نشانگرهای Nestin (Glial fibrillary acidic protein) GFAP و MAP2 (Microtubule-associated protein) پس

و پس از چند بار پیپت کردن، ۵ دقیقه با دور ۱۶۰۰ rpm سانتریفوژ شد. محیط روی سلول‌ها تخلیه و ۱ ml محیط کشت نوروبازال به نوروسفرهای منفرد شده اضافه گردید. جهت انجام هر آزمایش تعداد مناسب سلول در نظر گرفته شد و جهت انکپسوله کردن سلول‌ها در هیدروژل آژینات، $10^6 \times 1$ سلول به ۱ ml آژینات منتقل شد.

سلول‌های کشت تک لایه‌ای به عنوان گروه شاهد و سلول‌های انکپسوله شده در هیدروژل آژینات به عنوان گروه آژینات در نظر گرفته شد. جهت تهیه ۲۰ ml می‌دیوم القای عصبی، از ۲۰۰ µl FBS ۱ ml Neurobasal medium ۱۸ ml NEAA ۲۰۰ µl، $200 \mu\text{l}$ L-Glu ۲۰۰ µl، (Non-essential amino acid) $200 \mu\text{l}$ N₂ ۲۰۰ µl و $200 \mu\text{l}$ Nystatin $200 \mu\text{l}$ ، $1x$ B_{۲۷} ۴۰۰ استفاده شد.

نحوه انکپسوله کردن سلول‌ها در هیدروژل آژینات

شمارش سلولی انجام شد و برای هر ۱ ml ۱ محلول هیدروژل آژینات $10^6 \times 1$ سلول در نظر گرفته شد. سلول‌ها به سرنگ ۵ ml حاوی ۱ ml محلول آژینات منتقل شدند. محلول آژینات حاوی سلول‌های بنیادی به وسیله‌ی سرنگ با Gage ۲۲ در چاهک‌های پلیت ۲۴ محتوی محلول CaCl_۲ ۱۰۲ mM well قطره‌گذاری شد. پلیت محتوی بیدهای آژینات به مدت نیم ساعت در انکوباتور قرار داده شد. محلول CaCl_۲ از روی بیدها حذف شد و بیدها دو بار با بافر Tris ۲۰ mM و یک بار با محیط کشت شسته شد. محیط کشت القای عصبی به چاهک‌ها اضافه شد و پلیت‌ها در انکوباتور قرار گرفت.

مدت ۱۰ دقیقه با دور ۱۶۰۰ rpm سانتریفوژ شد. مایع رویی تخلیه و بار دیگر محیط کشت به رسوب سلولی اضافه و پیپت شد و نمونه به مدت ۵ دقیقه با دور ۱۶۰۰ rpm سانتریفوژ شد. پس از تخلیه‌ی مایع رویی، سوسپانسیون سلولی جهت کشت به DMEM/F12 (Dulbecco's Modified Eagle's Medium) ۱۰ FBS درصد و پنی‌سیلین/استرپтомایسین ۱ درصد منتقل شد.

القای تمایز عصبی از طریق تهیه نوروسفر

پس از انجام شمارش سلولی جهت تشکیل نوروسفر، $10^6 \times 1$ سلول به پتری دیش ۵ ml DMEM/F12 ۵ ml Heparin ۲ µl پنی‌سیلین/استرپтомایسین ۱ درصد، $100 \mu\text{l}$ (Human epidermal growth factor) hEGF و $10 \mu\text{l}$ (Basic fibroblast growth factor) bFGF و $10 \mu\text{l}$ استرپتو-امیکین منتقل شد.

عوامل Heparin $B_{۲۷}$, hEGF, bFGF و $B_{۲۷}$ هر سه روز یکبار به محیط اولیه اضافه شد.

القای تمایز نوروژنیک

با تشکیل نوروسفرها در روز هفتم پس از القا، محیط حاوی نوروسفر به فالکون ۱۵ ml منتقل شد و جهت رسوب نوروسفرها در انکوباتور قرار داده شد. شستشوی سلول‌های چسبیده به کف پتری دیش با PBS ۱/۵ ml انجام شد. ۱ ml آنزیم تریپسین-EDTA (Ethylenediaminetetraacetic acid) به پتری دیش اضافه شد و جهت جدا شدن سلول‌ها از کف دیش، سه دقیقه در انکوباتور قرار داده شد. با استفاده از محیط کشت محتوی سرم، آنزیم خنثی شد. محتوی پتری دیش به فالکون حاوی نوروسفر منتقل

از روش ایمنوستیتوشیمی استفاده شد. رنگ‌آمیزی سلول‌های تمایز یافته‌ی گروه شاهد و بیدهای آژینات علیه آنتی بادی‌های Nestin (پروتئین فیلامنت بینایینی که توسط سلول‌های پیش‌ساز عصبی بیان می‌شود)، GFAP (پروتئین فیلامنت بینایینی که MAP2 (پروتئینی که همراه با میکروتوبول‌ها می‌باشد و نشانگر سلول‌های عصبی بالغ است) انجام شد. محیط روی نمونه‌ها حذف و سلول‌های گروه شاهد دو بار با PBS و بیدهای آژینات دو بار با بافر Tris شسته شد. برای ثابت کردن نمونه‌ها از $1\text{ }\mu\text{l}$ میکرولیتر پارافرمالدهید ۴ درصد به مدت ۳۰ دقیقه در دمای اتاق و در تاریکی استفاده شد. پارافرمالدهید ۴ درصد از روی نمونه‌ها حذف و با بافر مربوطه شسته شد. برای نفوذ پذیر کردن غشای سلولی، از Triton X-۱۰۰ به مدت ۳۰ دقیقه در دمای اتاق استفاده شد.

از روی نمونه‌ها حذف و شستشو با بافر انجام شد. آنتی بادی‌های اوپیه (۱:۳۰۰)، Nestin (۱:۶۰۰)، GFAP (۱:۳۰۰) و MAP2 (۱:۵۰۰) به نمونه‌ها اضافه شد. ابتدا ۲ ساعت در انکوباتور 37°C و سپس به مدت یک شب در دمای اتاق انکوبه شد. آنتی بادی‌های اوپیه حذف و شستشو با بافر انجام شد. آنتی بادی ثانویه کونژوگه شد و با FITC (Fluorescein isothiocyanate) با غلظت ۱:۵۰۰ به نمونه‌ها اضافه شد و ۲ ساعت در انکوباتور 37°C قرار داده شد.

پس از حذف آنتی بادی ثانویه، شستشو با بافر انجام شد. DAPI (4,6-diamidino-2-phenylindole) با غلظت ۱:۱۰۰۰ به مدت ۲ دقیقه در دمای اتاق جهت

بررسی مورفولوژی سلول‌های انکپسوله توسط (Scanning electron microscopy) SEM

مورفولوژی سلول‌های انکپسوله شده در آژینات به وسیله‌ی میکروسکوپ الکترونی بررسی شد. بیدهای آژینات در پارافرمالدهید ۴ درصد ثبیت شد و برش‌های (Cryocut ۱۸۰۰ reichert, JUNG, Germany) تهیه شد. برش‌های $9\text{ }\mu\text{m}$ پوشش طلا داده شد و سپس با میکروسکوپ الکترونی بررسی گردید (Seron Technology AIS ۲۵۰۰, India).

آزمایش MTT جهت تعیین میزان تکثیر و بقای سلولی

برای بررسی میزان تکثیر و بقای سلول‌های انکپسوله در هیدروژل آژینات و سلول‌های گروه شاهد از این آزمایش استفاده شد. بیدهای آژینات و سلول‌های گروه شاهد در روز چهاردهم پس از تمایز با PBS شسته شدند. PBS حذف شد و $200\text{ }\mu\text{l}$ محیط کشت DMEM/F12 فاقد سرم و $20\text{ }\mu\text{l}$ محلول MTT به هر چاهک اضافه شد و به مدت چهار ساعت در انکوباتور قرار گرفت. محیط کشت حاوی DMSO $200\text{ }\mu\text{l}$ MTT حذف و $1\text{ }\mu\text{l}$ محلول (Dimethyl sulfoxide) در تاریکی به هر چاهک اضافه شد. چند بار سلول‌ها در این محلول پیست شدند و سپس محلول به چاهک‌های پلیت ۹۶ well متقل شدند. جذب نوری محلول با دستگاه Microplate reader در طول موج 540 nm ارزیابی شد. برای هر نمونه سه بار آزمایش تکرار شد.

تکنیک ایمنوستیتوشیمی

برای ارزیابی میزان تمایز عصبی سلول‌های انکپسوله شده در هیدروژل آژینات و سلول‌های گروه شاهد،

نیز خواهند داشت (شکل ۱b). پس از یک هفته نوروسفرهای منفرد شده در محیط القای عصبی دارای زواید شبه آکسونی و شبه دندریتی داشتند (شکل ۱c). بیدهای آژینات زیر میکروسکوپ مرحله‌ی کتراست به صورت توده‌های کروی بودند و به دلیل ماهیت شفاف هیدروژل آژینات سلول‌های گرد و بدون زایده‌ی موجود در آن قابل رؤیت بودند (شکل ۱d). در تصاویر میکروسکوپ الکترونی هیدروژل آژینات به صورت شبکه‌ای خزه مانند حاوی سلول‌های کروی شکل و بدون زایده بود (شکل‌های ۲a، b). تصاویر میکروسکوپ فلورسنت نیز مؤید این مطلب است (شکل‌های e، d، ۲c).

بررسی میزان تکثیر و بقای سلول‌ها

جهت تعیین میزان تکثیر و بقای سلول‌های بنیادی مشتق از بافت چربی، پس از القای عصبی و انتقال به هیدروژل آژینات، میزان بقا برای MTT assay در روز ۱۴ پس از تمایز انجام شد. این آزمایش، میزان بقا برای سلول‌های القا شده‌ی گروه شاهد و گروه آژینات را به ترتیب ($0/13 \pm 0/02$) و ($0/28 \pm 0/02$) نشان داد. آنالیز آماری تفاوت معنی‌داری را بین میزان بقای گروه شاهد و گروه آژینات نشان داد ($P < 0/001$).

بررسی ایمنوستیوشیمی

برای ارزیابی تمایز عصبی و تعیین میانگین درصد سلول‌های Nestin (نشانگر پیش‌ساز عصبی)، GFAP (نشانگر آستروسیت‌ها) و MAP2 (نشانگر نورون بالغ) مثبت، این آزمایش برای گروه شاهد و گروه آژینات در روز ۱۴ پس از تمایز انجام شد. کنترل منفی با حذف آنتی‌بادی اولیه انجام شد (شکل ۳).

رنگ‌آمیزی هسته‌ی سلول‌ها اضافه شد. شستشو با بافر مربوط انجام گردید. لام حاوی نمونه، روی لام منتقل شد و با میکروسکوپ فلورسنت بررسی گردید. تصاویر سلول‌ها با استفاده از نرم‌افزار ImageJ شمارش شد و درصد سلول‌های مثبت برای هر نمونه در سه زمینه‌ی غیر همپوشان محاسبه شد.

تحلیل آماری

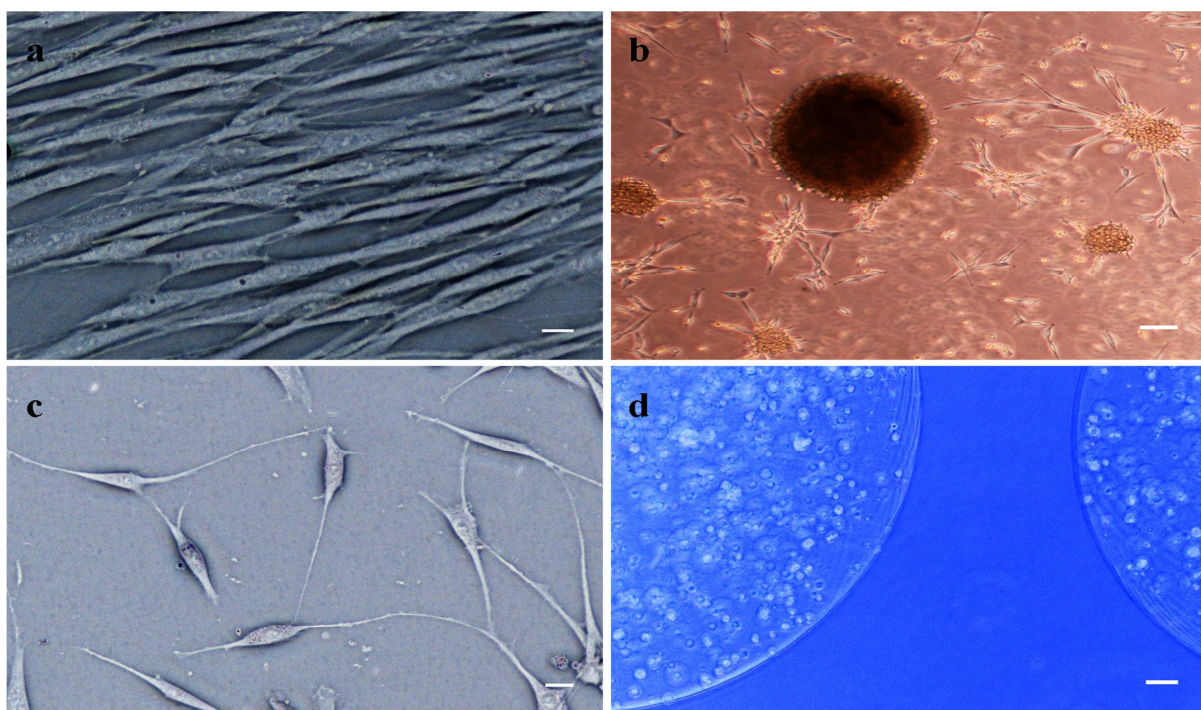
از نرم‌افزار SPSS نسخه‌ی ۱۸ (version 18, SPSS Inc., Chicago, IL) و آزمون (One-way analysis of variance) one-way ANOVA جهت بررسی اختلافات معنی‌دار بین گروه‌ها استفاده شد. اختلاف میانگین داده‌ها در صورت $P < 0/05$ معنی‌دار محسوب شدند.

یافته‌ها

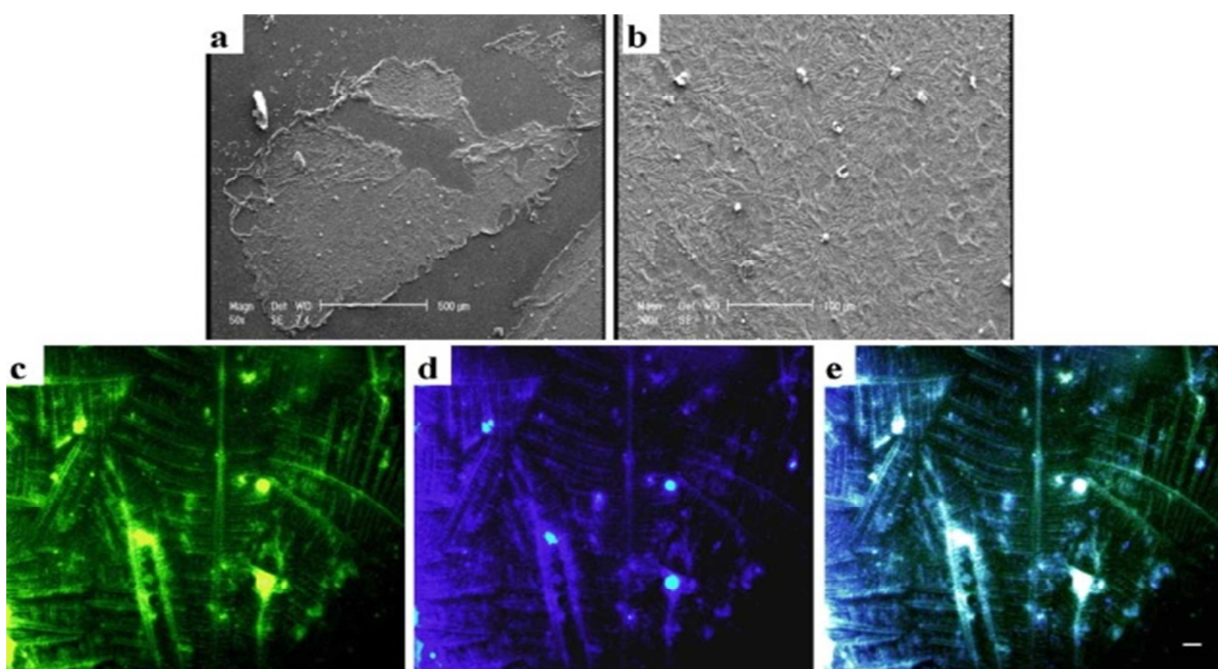
بررسی مورفولوژی سلول‌ها

۴۸ ساعت پس از کشت اولیه‌ی سلول‌های بنیادی مشتق از بافت چربی، این سلول‌ها در تصاویر میکروسکوپ مرحله‌ی کتراست به صورت جمعیتی هتروژن از سلول‌های دوکی شکل دیده شدند. در پاساژ ۲-۳ و تراکم سلولی ۸۰-۹۰ درصد، سلول‌ها آرایش تک لایه‌ای و فیبروبلاست شکل داشتند (شکل ۱a).

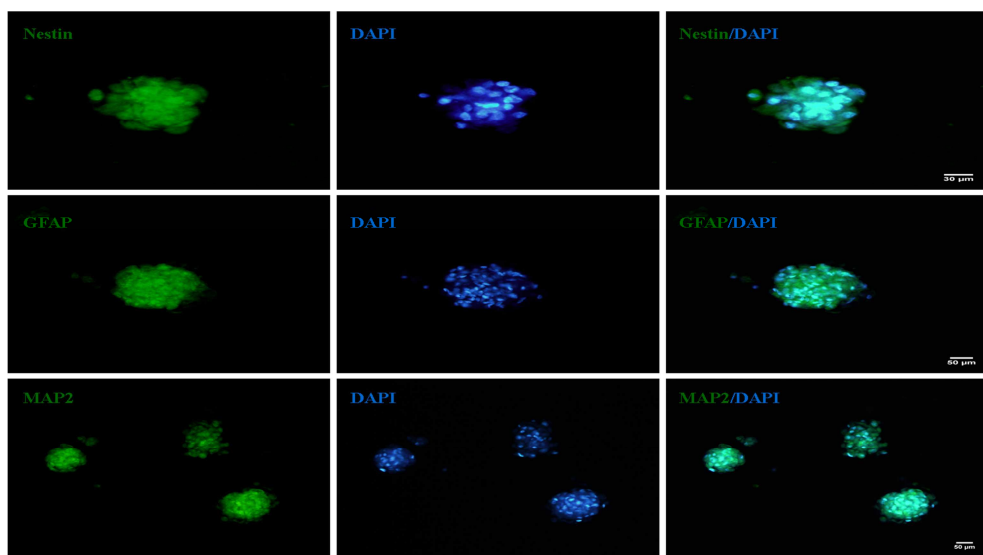
در محیط پیش القای عصبی، تغییر در مورفولوژی سلول‌ها شامل جمع شدگی سیتوپلاسم و تشکیل زواید بود. ۲۴-۴۸ ساعت بعد توده‌های کروی به نام نوروسفر تشکیل شد و این توده‌های کروی با گذشت زمان به علت وجود عوامل پیش‌برنده‌ی تکثیر سلولی مانند hEGF و bFGF در محیط کشت افزایش اندازه



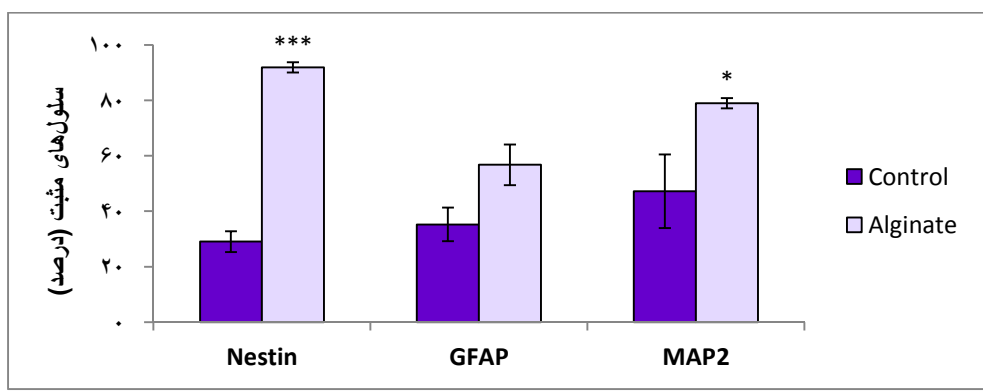
شکل ۱. بررسی مورفولوژی سلول‌های بنیادی جدا شده از بافت چربی پس از القای عصبی و انکپسوله کردن در هیدروژل آژینات. a. سلول‌های بنیادی جدا شده از بافت چربی کشت شده در محیط کشت DMEM-F12. b. سلول‌های بنیادی جدا شده از بافت چربی کشت شده در مدیوم القای عصبی به مدت ۷ روز و تشکیل نوروسفر. c. کشت تک لایه‌ای سلول‌های بنیادی جدا شده از بافت چربی القا شده. d. سلول‌های انکپسوله شده در هیدروژل آژینات. بررسی‌های مورفولوژیک با میکروسکوپ مرحله‌ی کتراست انجام گرفت (بزرگنمایی در a, b و d ۲۰۰ μm و c ۵۰ μm در e).



شکل ۲. تصاویر میکروسکوپ الکترونی از برش انجام‌دادهای آژینات حاوی سلول‌های بنیادی جدا شده از بافت چربی القا شده (a و b) و تصاویر میکروسکوپ فلورسنت شبکه‌ای خزه‌ای شکل حاوی سلول‌های کروی را نشان داد (c, d و e) (بزرگنمایی c, d و e ۲۰۰ μm).



شکل ۳. رنگآمیزی ایمنوفلورسنت برای نشانگرهای عصبی (Glial fibrillary acidic protein) GFAP و (Microtubule-associated protein۲) MAP۲ در سلول‌های انکپسوله در هیدروژل آلزینات. (بزرگنمایی ۵۰ μm).



شکل ۴. مقایسه میانگین درصد سلول‌های Nestin و (Glial fibrillary acidic protein) GFAP و (Microtubule-associated protein۲) MAP۲ مثبت انکپسوله در هیدروژل آلزینات با گروه شاهد در روز ۱۴ پس از تمايز. میانگین درصد سلول‌های انکپسوله Nestin مثبت تفاوت معنی‌داری را نسبت به گروه شاهد نشان داد ($P < 0.001$), همچنین میانگین درصد سلول‌های MAP۲ مثبت انکپسوله در مقایسه با گروه شاهد تفاوت معنی‌داری داشت ($P < 0.05$). (Mean ± SE) (* $P < 0.05$)

درصد) افزایش یافت. همچنین میانگین درصد سلول‌های MAP۲ مثبت در سلول‌های انکپسوله به طور معنی‌داری در مقایسه با گروه افزایش یافت (۱/۸۱ ± ۷۸/۹۶ درصد در مقابل ۱/۸۴ ± ۴۷/۲۰ درصد) ($P < 0.05$). (شکل ۴).

میانگین درصد سلول‌های انکپسوله Nestin مثبت (۱/۸۴ ± ۹۱/۹۰ درصد) به طور معنی‌داری در مقایسه با گروه شاهد (۲۹/۰۳ ± ۳/۷۳ درصد) افزایش یافت ($P < 0.001$). به علاوه، میانگین درصد سلول‌های انکپسوله GFAP مثبت (۷/۳۰ ± ۵۶/۷۵ درصد) در مقایسه با گروه شاهد (۶/۰۹ ± ۳۵/۲۳) در مقایسه با گروه شاهد

در هیدروژل آژینات قرار دادند و در محیط کشت DMEM/F12 محتوی FGF2 (Fibroblast growth factor 2) کشت دادند و پس از ۷ روز بیان نشانگرهای عصبی بتا توبولین III و Nestin را بررسی کردند و افزایش بیان بتا توبولین III را مشاهده کردند (۴۹). Ashton و همکاران نشان دادند که BDNF نقش‌های مهمی در تکامل و نوروبلاستیستی مغز دارد؛ همچنین بقای عصبی، نوروژنز و رشد عصبی را تنظیم می‌کند (۵۰) و نقش‌های مکملی در تنظیم تمایز دو رده‌ی سلولی نورون‌ها و سلول‌های گلیال دارد (۵۱).

مطالعه‌ای نشان داده است که سلول‌های بنیادی عصبی انکپسوله در هیدروژل آژینات قادر به ترشح BDNF و همچنین بیان GFAP و Nestin هستند (۴۸). به علاوه، طبق نتایج آزمایش‌های اخیر، سلول‌های بنیادی جدا شده از بافت چربی توانایی تولید نوروتروفین‌های BDNF، NGF و GDNF را دارند (۳۶-۳۷). از آن جایی که سلول‌های بنیادی جدا شده از بافت چربی در محیط کشت دو بعدی BDNF ترشح می‌کنند، ممکن است با انکپسوله کردن این سلول‌ها در هیدروژل آژینات، مقادیر بیشتری از این عامل ترشح شده باشد که افزایش میزان تمایز عصبی سلول‌های بنیادی جدا شده از بافت چربی را نسبت به گروه شاهد توجیه می‌کند.

Ashton و همکاران سلول‌های پیش‌ساز عصبی رت PLGA-Al ۱ درصد همراه با Poly(lactid-co-glycolide) alginate lyase (Poly(lactid-co-glycolide) alginate lyase) به مدت ۷ روز کشت دادند و افزایش معنی‌داری را در سرعت تکثیر این سلول‌ها مشاهده کردند (۵۰). در مطالعه‌ی حاضر سلول‌های بنیادی جدا شده از بافت چربی

بحث

نتایج مطالعه‌ی حاضر نشان داد که هیدروژل آژینات محیط سه بعدی مناسبی را برای کشت و تمایز عصبی سلول‌های بنیادی جدا شده از بافت چربی فراهم می‌کند. اگر چه میزان تکثیر و بقای سلولی در هیدروژل آژینات کاهش پیدا کرد، میانگین درصد سلول‌های Nestin، GFAP و MAP2 مثبت در مقایسه با گروه شاهد افزایش یافت.

رفتار انواع مختلفی از سلول‌ها در هیدروژل آژینات بررسی شده و نتایج متفاوتی به دست آمده است (۴۳). این نتایج می‌تواند مربوط به نوع خاص سلول و یا روش به کار گرفته شده جهت انکپسوله کردن سلول‌ها باشد (۴۴). چون آژینات تداخل عمل سلولی ندارد، سلول‌ها قادر به چسبیدن به شبکه‌ی آژینات نیستند. چسبیدگی سلول برای بقا، تکثیر، تمایز و بیان ژن اغلب سلول‌ها ضروری است (۴۵). طبیعت غیر چسبنده‌ی هیدروژل آژینات تداخل عمل سلول-سلول را حمایت می‌کند که جهت حفظ بقای سلول و تقویت ویژگی‌های عملکردی سلول‌ها دارای اهمیت است (۴۶).

سلول‌های کشت شده در آژینات، مورفولوژی کروی دارند و اگر چه میزان تکثیر این سلول‌ها کاهش می‌یابد، اما سلول‌ها در این هیدروژل زنده می‌مانند (۴۳). در تحقیقات متعددی، کاهش تکثیر انواع سلول‌های انکپسوله شده در هیدروژل آژینات گزارش شده است (۲۵، ۴۶-۴۷). کاهش تکثیر سلولی در هیدروژل آژینات ممکن است وابسته به درصد وزنی پایین آژینات (۱ درصد) مورد استفاده باشد (۴۸).

Banerjee و همکاران سلول‌های بنیادی عصبی را

می‌مانند و به نظر می‌رسد که بافت مغز هیدروژل آژینات را به خوبی تحمل می‌کنند (۹). در حالی که در آزمایش‌های اخیر، سلول‌های بنیادی جدا شده از بافت چربی انکپسوله در هیدروژل آژینات ۱/۲ درصد کشت شده به صورت *In vitro* تکثیر کمی داشتند.

تفاوت در نوع سلول‌ها و غلظت آژینات مورد استفاده، همچنین شرایط *In vivo* در مطالعه Read و همکاران (۹) ممکن است در نتایج متفاوت به دست آمده در دو تحقیق مؤثر باشد.

نتایج مطالعه‌ی حاضر نشان داد که هیدروژل آژینات تکثیر و تمایز عصبی سلول‌های بنیادی جدا شده از بافت چربی را تحت تأثیر قرار می‌دهد. میزان تکثیر و بقای سلول‌های بنیادی جدا شده از بافت چربی انکپسوله در هیدروژل آژینات به طور معنی‌داری کاهش یافت. در حالی که تمایز عصبی این سلول‌ها افزایش یافت. احتمال می‌رود هیدروژل آژینات با ایجاد شرایطی مشابه با ماتریکس خارج سلولی و تنظیم ترشح عوامل نوروتروفیک، می‌تواند منجر به افزایش تمایز عصبی شده باشد. شناسایی مکانیسم‌های مولکولی تمایز عصبی و اندازه‌گیری عوامل نوروتروفیک ترشح شده از این سلول‌ها، می‌تواند اطلاعات بالرزشی را جهت استفاده در مهندسی بافت و مطالعات *In vivo* فراهم کند.

تشکر و قدردانی

بدین‌وسیله از مسؤولین محترم معاونت تحقیقات و فناوری دانشگاه علوم پزشکی اصفهان و نیز از زحمات سرکار خانم علی‌اکبری مسؤول آزمایشگاه کشت سلولی که در زمینه‌ی انجام پژوهش حاضر همکاری نمودند، کمال تقدیر و تشکر خود را ابراز می‌نماییم.

انسانی کشت شده در محیط پیش القای عصبی، به هیدروژل آژینات ۱/۲ درصد متقل شد و ۷ روز در محیط عصبی کشت شد. سرعت تکثیر این سلول‌ها در مقایسه با گروه شاهد به طور معنی‌داری کاهش یافت. در مطالعه Ashton و همکاران ممکن است حضور PLGA-Al در کنار هیدروژل آژینات با کنترل تجزیه‌ی این هیدروژل باعث افزایش سرعت تکثیر سلول‌های پیش‌ساز عصبی رت شده باشد. همچنین نوع سلول‌ها و غلظت آژینات استفاده شده در دو مطالعه متفاوت است (۵۰).

Xie و همکاران سلول‌های بنیادی جدا شده از بافت چربی رت را در هیدروژل پیتیدی و در محیط القای عصبی کشت دادند. ۱۰ روز پس از تمایز عصبی، آنالیز ایمنوسیتوشیمی نشان داد که این سلول‌ها Nestin (نشانگر پیش‌ساز عصبی) و Brdu (نشانگر تکثیر سلولی) را در مرکز توده‌های سلولی تشکیل شده بیان کردند (۵۲). نتایج به دست آمده از تحقیق حاضر هم افزایش معنی‌داری را در بیان Nestin در سلول‌های بنیادی جدا شده از بافت چربی انکپسوله در هیدروژل آژینات ۱۴ روز پس از تمایز عصبی نشان داد. در هر دو تحقیق، به علت استفاده سلول‌های مشابه افزایش بیان Nestin مشاهده شد. اگر چه نوع داربست استفاده شده در دو مطالعه متفاوت است، ممکن است وضعیت هیدروفیلیکی که هر دو داربست ایجاد می‌کنند، در ایجاد نتایج مشابه مؤثر باشد.

Read و همکاران نشان دادند که رده‌ی سلولی BT4C از رت با بیماری گلیوما انکپسوله در هیدروژل آژینات ۱/۵ درصد کشت شده به صورت *In vivo* تکثیر می‌یابد و سلول‌های آن مورفولوژی کروی دارند. همچنین ۴ ماه پس از کشت زنده

References

1. Moroni L, de Wijn JR, van Blitterswijk CA. 3D fiber-deposited scaffolds for tissue engineering: influence of pores geometry and architecture on dynamic mechanical properties. *Biomaterials* 2006; 27(7): 974-85.
2. Dutta RC, Dutta AK. Cell-interactive 3D-scaffold; advances and applications. *Biotechnol Adv* 2009; 27(4): 334-9.
3. Hunt NC, Smith AM, Gbureck U, Shelton RM, Grover LM. Encapsulation of fibroblasts causes accelerated alginate hydrogel degradation. *Acta Biomater* 2010; 6(9): 3649-56.
4. Lee KY, Mooney DJ. Hydrogels for tissue engineering. *Chem Rev* 2001; 101(7): 1869-79.
5. Nicodemus GD, Bryant SJ. Cell encapsulation in biodegradable hydrogels for tissue engineering applications. *Tissue Eng Part B Rev* 2008; 14(2): 149-65.
6. Lee KY, Alsberg E, Mooney DJ. Degradable and injectable poly (aldehyde guluronate) hydrogels for bone tissue engineering. *J Biomed Mater Res* 2001; 56(2): 228-33.
7. Peter SJ, Miller MJ, Yasko AW, Yaszemski MJ, Mikos AG. Polymer concepts in tissue engineering. *J Biomed Mater Res* 1998; 43(4): 422-7.
8. Li X, Liu T, Song K, Yao L, Ge D, Bao C, et al. Culture of neural stem cells in calcium alginate beads. *Biotechnol Prog* 2006; 22(6): 1683-9.
9. Read TA, Stensvaag V, Vindenes H, Ulvestad E, Bjerkvig R, Thorsen F. Cells encapsulated in alginate: a potential system for delivery of recombinant proteins to malignant brain tumours. *Int J Dev Neurosci* 1999; 17(5-6): 653-63.
10. Rowley JA, Madlambayan G, Mooney DJ. Alginate hydrogels as synthetic extracellular matrix materials. *Biomaterials* 1999; 20(1): 45-53.
11. Augst AD, Kong HJ, Mooney DJ. Alginate hydrogels as biomaterials. *Macromol Biosci* 2006; 6(8): 623-33.
12. Drury JL, Mooney DJ. Hydrogels for tissue engineering: scaffold design variables and applications. *Biomaterials* 2003; 24(24): 4337-51.
13. Li T, Shi XW, Du YM, Tang YF. Quaternized chitosan/alginate nanoparticles for protein delivery. *J Biomed Mater Res A* 2007; 83(2): 383-90.
14. Kemp MR, Fryer PJ. Enhancement of diffusion through foods using alternating electric fields. *Innovative Food Science and Emerging Technologies* 2007; 8(1): 143-53.
15. Prang P, Muller R, Eljaouhari A, Heckmann K, Kunz W, Weber T, et al. The promotion of oriented axonal regrowth in the injured spinal cord by alginate-based anisotropic capillary hydrogels. *Biomaterials* 2006; 27(19): 3560-9.
16. Petruzzo P, Cappai A, Ruiu G, Dessy E, Rescigno A, Brotzu G. Development of biocompatible barium alginate microcapsules. *Transplant Proc* 1997; 29(4): 2129-30.
17. Shapiro L, Cohen S. Novel alginate sponges for cell culture and transplantation. *Biomaterials* 1997; 18(8): 583-90.
18. Coviello T, Matricardi P, Marianecchi C, Alhaique F. Polysaccharide hydrogels for modified release formulations. *J Control Release* 2007; 119(1): 5-24.
19. Simmons CA, Alsberg E, Hsiong S, Kim WJ, Mooney DJ. Dual growth factor delivery and controlled scaffold degradation enhance in vivo bone formation by transplanted bone marrow stromal cells. *Bone* 2004; 35(2): 562-9.
20. Kong HJ, Mooney DJ. The effects of poly (ethyleneimine) (PEI) molecular weight on reinforcement of alginate hydrogels. *Cell Transplant* 2003; 12(7): 779-85.
21. Alsberg E, Kong HJ, Hirano Y, Smith MK, Albeiruti A, Mooney DJ. Regulating bone formation via controlled scaffold degradation. *J Dent Res* 2003; 82(11): 903-8.
22. Alsberg E, Anderson KW, Albeiruti A, Franceschi RT, Mooney DJ. Cell-interactive alginate hydrogels for bone tissue engineering. *J Dent Res* 2001; 80(11): 2025-9.
23. Hsiong SX, Huebsch N, Fischbach C, Kong HJ, Mooney DJ. Integrin-adhesion ligand bond formation of preosteoblasts and stem cells in three-dimensional RGD presenting matrices. *Biomacromolecules* 2008; 9(7): 1843-51.
24. Schagemann JC, Mrosek EH, Landers R, Kurz H, Erggelet C. Morphology and function of ovine articular cartilage chondrocytes in 3-d hydrogel culture. *Cells Tissues Organs* 2006; 182(2): 89-97.
25. Markusen JF, Mason C, Hull DA, Town MA, Tabor AB, Clements M, et al. Behavior of adult human mesenchymal stem cells entrapped in alginate-GRGDY beads. *Tissue Eng* 2006; 12(4): 821-30.
26. Saha K, Keung AJ, Irwin EF, Li Y, Little L, Schaffer DV, et al. Substrate modulus directs neural stem cell behavior. *Biophys J* 2008; 95(9): 4426-38.
27. Barker CF, Billingham RE. Immunologically privileged sites. *Adv Immunol* 1977; 25: 1-54.
28. Barrilleaux B, Phinney DG, Prockop DJ, O'Connor KC. Review: ex vivo engineering of living tissues with adult stem cells. *Tissue Eng* 2006; 12(11): 3007-19.
29. Strem BM, Hedrick MH. The growing

- importance of fat in regenerative medicine. *Trends Biotechnol* 2005; 23(2): 64-6.
- 30.** Zuk PA, Zhu M, Ashjian P, De Ugarte DA, Huang JI, Mizuno H, et al. Human adipose tissue is a source of multipotent stem cells. *Mol Biol Cell* 2002; 13(12): 4279-95.
- 31.** Gimble JM, Katz AJ, Bunnell BA. Adipose-derived stem cells for regenerative medicine. *Circ Res* 2007; 100(9): 1249-60.
- 32.** de GM, Schuurs TA, van SR. Causes of limited survival of microencapsulated pancreatic islet grafts. *J Surg Res* 2004; 121(1): 141-50.
- 33.** DiMuzio P, Tulenko T. Tissue engineering applications to vascular bypass graft development: the use of adipose-derived stem cells. *J Vasc Surg* 2007; 45(Suppl A): A99-103.
- 34.** Schipper BM, Marra KG, Zhang W, Donnenberg AD, Rubin JP. Regional anatomic and age effects on cell function of human adipose-derived stem cells. *Ann Plast Surg* 2008; 60(5): 538-44.
- 35.** Lopatina T, Kalinina N, Karagyaur M, Stambolsky D, Rubina K, Revischin A, et al. Adipose-derived stem cells stimulate regeneration of peripheral nerves: BDNF secreted by these cells promotes nerve healing and axon growth de novo. *PLoS One* 2011; 6(3): e17899.
- 36.** Razavi S, Razavi MR, Kheirollahi-Kouhestani M, Mardani M, Mostafavi FS. Co-culture with neurotrophic factor secreting cells induced from adipose-derived stem cells: promotes neurogenic differentiation. *Biochem Biophys Res Commun* 2013; 440(3): 381-7.
- 37.** Kalbermatten DF, Schaakxs D, Kingham PJ, Wiberg M. Neurotrophic activity of human adipose stem cells isolated from deep and superficial layers of abdominal fat. *Cell Tissue Res* 2011; 344(2): 251-60.
- 38.** Carlson KB, Singh P, Feaster MM, Ramnarain A, Pavlides C, Chen ZL, et al. Mesenchymal stem cells facilitate axon sorting, myelination, and functional recovery in paralyzed mice deficient in Schwann cell-derived laminin. *Glia* 2011; 59(2): 267-77.
- 39.** Sondell M, Sundler F, Kanje M. Vascular endothelial growth factor is a neurotrophic factor which stimulates axonal outgrowth through the flk-1 receptor. *Eur J Neurosci* 2000; 12(12): 4243-54.
- 40.** Rehman J, Traktuev D, Li J, Merfeld-Clauss S, Temm-Grove CJ, Bovenkerk JE, et al. Secretion of angiogenic and antiapoptotic factors by human adipose stromal cells. *Circulation* 2004; 109(10): 1292-8.
- 41.** Safford KM, Hicok KC, Safford SD, Halvorsen YD, Wilkison WO, Gimble JM, et al. Neurogenic differentiation of murine and human adipose-derived stromal cells. *Biochem Biophys Res Commun* 2002; 294(2): 371-9.
- 42.** Ashjian PH, Elbarbary AS, Edmonds B, DeUgarte D, Zhu M, Zuk PA, et al. In vitro differentiation of human processed lipoaspirate cells into early neural progenitors. *Plast Reconstr Surg* 2003; 111(6): 1922-31.
- 43.** Mulder L. Cell adhesion on alginate scaffolds for tissue engineering of aortic valve-a review. Eindhoven, Netherlands: Faculty of Biomedical Engineering, Eindhoven University Technology; 2002. p. 22-34.
- 44.** Novikova LN, Mosahebi A, Wiberg M, Terenghi G, Kellerth JO, Novikov LN. Alginate hydrogel and matrigel as potential cell carriers for neurotransplantation. *J Biomed Mater Res A* 2006; 77(2): 242-52.
- 45.** Retta SF, Ternullo M, Tarone G. Adhesion to matrix proteins. *Methods Mol Biol* 1999; 96: 125-30.
- 46.** Dar A, Shachar M, Leor J, Cohen S. Optimization of cardiac cell seeding and distribution in 3D porous alginate scaffolds. *Biotechnol Bioeng* 2002; 80(3): 305-12.
- 47.** Ma HL, Hung SC, Lin SY, Chen YL, Lo WH. Chondrogenesis of human mesenchymal stem cells encapsulated in alginate beads. *J Biomed Mater Res A* 2003; 64(2): 273-81.
- 48.** Purcell EK, Singh A, Kipke DR. Alginate composition effects on a neural stem cell-seeded scaffold. *Tissue Eng Part C Methods* 2009; 15(4): 541-50.
- 49.** Banerjee A, Arha M, Choudhary S, Ashton RS, Bhatia SR, Schaffer DV, et al. The influence of hydrogel modulus on the proliferation and differentiation of encapsulated neural stem cells. *Biomaterials* 2009; 30(27): 4695-9.
- 50.** Ashton RS, Banerjee A, Punyani S, Schaffer DV, Kane RS. Scaffolds based on degradable alginate hydrogels and poly(lactide-co-glycolide) microspheres for stem cell culture. *Biomaterials* 2007; 28(36): 5518-25.
- 51.** Cheng A, Coksaygan T, Tang H, Khatri R, Balice-Gordon RJ, Rao MS, et al. Truncated tyrosine kinase B brain-derived neurotrophic factor receptor directs cortical neural stem cells to a glial cell fate by a novel signaling mechanism. *J Neurochem* 2007; 100(6): 1515-30.
- 52.** Xie X, Tang Z, Chen J, Yang J, Zeng W, Liu N, et al. Neurogenesis of adipose-derived stem cells in hydrogel. *J Huazhong Univ Sci Technolog Med Sci* 2011; 31(2): 174-7.

Induction of Neuron-Like Cells from Adipose Derived Stem Cells in Alginate Hydrogel, Using Neurospheres Formation

Shahnaz Razavi PhD¹, Zahra Khosravizadeh MSc², Hamid Bahramian PhD³, Mohammad Kazemi MSc⁴

Original Article

Abstract

Background: Hydrogels provide appropriate three-dimensional environment for culture of a variety of cells and cell encapsulation in hydrogels is a promise plan for tissue engineering applications. Alginate is an attractive biocompatible hydrogel that provides a supportive system for the encapsulated cells. Moreover, human adipose derived stem cells are mesenchymal stem cells that might be a suitable source of cells for use in autologous cell therapy.

Methods: In this study, we examined the fate of human adipose derived stem cells encapsulated in alginate hydrogel that cultured in neural induction medium for 1 week. Using MTT [3-(4,5-dimethylthiazol-2-yl)-2,5-diphenyltetrazolium bromide] assay and immunocytochemical analysis, the proliferation rate, and viability and neural differentiation of human adipose derived stem cells were evaluated.

Findings: We observed a significant increase in the mean percent of Nestin, glial fibrillary acidic protein (GFAP) and microtubule-associated protein-2 (MAP2) positive cells and significant reduction of proliferation rate and viability in encapsulated cells versus monolayer induced cells.

Conclusion: These findings showed that alginate hydrogel can provide a suitable environment for neural differentiation of human adipose derived stem cells.

Keywords: Hydrogel alginate, Human adipose-derived stem cells, Neural differentiation, Proliferation

Citation: Razavi Sh, Khosravizadeh Z, Bahramian H, Kazemi M. **Induction of Neuron-Like Cells from Adipose Derived Stem Cells in Alginate Hydrogel, Using Neurospheres Formation.** J Isfahan Med Sch 2014; 32(288): 828-40

1- Professor, Department of Anatomical Sciences and Molecular Biology, School of Medicine, Isfahan University of Medical Sciences, Isfahan, Iran

2- PhD Student, Department of Anatomical Sciences and Molecular Biology, School of Medicine, Tehran University of Medical Sciences, Tehran, Iran

3- Associate Professor, Department of Anatomical Sciences and Molecular Biology, School of Medicine, Isfahan University of Medical Sciences, Isfahan, Iran

4- PhD Student, Department of Genetics, School of Medicine, Isfahan University of Medical Sciences, Isfahan, Iran

Corresponding Author: Shahnaz Razavi PhD, Email: razavi@med.mui.ac.ir